

ผลของการปรับสภาพผิวต่อความแข็งแรงยึดเฉือนระหว่างไฟเบอร์โพสต์ และเรซินคอมโพสิต

ดวงดาว ผลยาม

ทันตแพทย์

โรงพยาบาลบางไหè่ย จังหวัดนนทบุรี

ศิริพงศ์ ศิริมงคลวัฒนา

ผู้ช่วยศาสตราจารย์

ภาควิชาทันตกรรมบูรณะและปริทันตวิทยา

คณะทันตแพทยศาสตร์ มหาวิทยาลัยเชียงใหม่

ภาควิชาทันตแพทย์ แก่นจันทร์

ผู้ช่วยศาสตราจารย์

ภาควิชาทันตกรรมบูรณะและปริทันตวิทยา

คณะทันตแพทยศาสตร์ มหาวิทยาลัยเชียงใหม่

ติดต่อเกี่ยวกับบทความ:

ผู้ช่วยศาสตราจารย์ ทันตแพทย์ศิริพงศ์ ศิริมงคลวัฒนา
ภาควิชาทันตกรรมบูรณะและปริทันตวิทยา

คณะทันตแพทยศาสตร์ มหาวิทยาลัยเชียงใหม่

ต.สุเทพ อ.เมือง จ.เชียงใหม่ 50200

โทรศัพท์: 053-944457

บทคัดย่อ

การศึกษานี้มีวัตถุประสงค์เพื่อประเมินผลของการปรับสภาพผิวต่อความแข็งแรงยึดเฉือนระหว่างไฟเบอร์โพสต์และเรซินคอมโพสิตโดยนำไฟเบอร์โพสต์ชนิดเอฟอาเรซิโพลิสเทกพลัสจำนวน 16 แท่ง แบ่งโดยสุ่มเป็น 4 กลุ่ม ได้แก่ กลุ่มที่ 1 ไม่ทำการปรับสภาพผิว (กลุ่มควบคุม) กลุ่มที่ 2 ทาด้วยสารไฮเดรน กลุ่มที่ 3 ทาด้วยกรดฟอสฟอริกความเข้มข้นร้อยละ 37.0 ล้างน้ำ และทาด้วยสารไฮเดรนกลุ่มที่ 4 เป้าทรายด้วยเครื่องเป้าทรายแบบข้างเก้าอี้ทันตแพทย์ ทำการทดสอบและทาด้วยสารไฮเดรนนำแต่ละกลุ่มยึดกับเรซินคอมโพสิตชนิดฟิลเทกแซทสองห้าศูนย์ โดยใช้แท่นยึดที่ถูกออกแบบเพื่อช่วยยึดตำแหน่งของไฟเบอร์โพสต์ให้ตั้งตรงและอยู่ตรงกลางของชิ้นงานที่สร้าง จากนั้นทาสาหร่ายติด ขายแสง แล้วอุดวัสดุเรซินคอมโพสิตเป็นชั้น ๆ ยึดกับไฟเบอร์โพสต์โดยรอบเป็นรูปร่างทรงกระบอกนำชิ้นงานที่ได้ตัดเป็นแผ่นกลม โดยแต่ละชิ้นงานสามารถตัดแบ่งได้ชิ้นทดสอบ 5 ชิ้น รวมชิ้นทดสอบกลุ่มละ 20 ชิ้น ทดสอบความแข็งแรงยึดเฉือนด้วยเครื่องทดสอบอินสตรูเมนต์ที่ทำให้ไฟเบอร์โพสต์หลุดออกจากเรซินคอมโพสิต นำผลการทดลองมาวิเคราะห์ทางสถิติโดยใช้การทดสอบค่าความแปรปรวนแบบทางเดียว พบว่าทุกกลุ่มมีค่าความแข็งแรงยึดเฉือนเฉลี่ยไม่แตกต่างกันอย่างมีนัยสำคัญทางสถิติ ($p > .05$)

บทนำ

ความเป็นมาและความสำคัญของปัญหา

การเลือกใช้เดียฟัน (post and core) เพื่อบูรณะภายหลังการรักษาคลองรากฟันให้เหมาะสมสมกับครอบฟันกระเบื้องล้วน (all-ceramics crown) ควรมีสีที่ใกล้เคียงกับฟันธรรมชาติ จึงได้มีการนำไฟเบอร์โพสต์ (fiber post) ร่วมกับเรซินคอมโพสิต (resin composites) สำหรับสร้างแกนฟัน (core) มาใช้ในการบูรณะมากขึ้น อย่างไรก็ตาม การยึดติดระหว่างสองส่วนนี้มีค่าน้อยเนื่องจากลักษณะของไฟเบอร์โพสต์มีผิวเรียบจึงเกิดการยึดติดกับเรซินคอมโพสิตทางจุลภาคศาสตร์ (micromechanical retention) ไม่ได้ ส่วนเรซินเมทริกซ์ (resin matrix) ของไฟเบอร์โพสต์ ซึ่งเป็นสารอีพอกซีเรซิน (epoxy resin) หรือสารเมทาไครเลต (methacrylate) มีโครงสร้างเป็นพอลิเมอร์ (polymers) ที่เกิดปฏิกิริยาค่อนข้างสมบูรณ์และมีโครงสร้างการเชื่อมต่อเป็นโครงร่างตัวข่าย¹ ทำให้ไม่มีการยึดติดทางเคมี (chemical retention) กับเรซินคอมโพสิตที่มีส่วนประกอบเป็นเมทาไครเลตเกิดขึ้นจึงได้มีการคิดค้นวิธีการปรับสภาพผิวไฟเบอร์โพสต์เพื่อเพิ่มการยึดติดกับเรซินคอมโพสิต แบ่งเป็น 2 แนวทาง² คือ การปรับสภาพผิวไฟเบอร์โพสต์เพื่อเพิ่มการยึด

ติดทางเคมี หรือการปรับสภาพผิวไฟเบอร์โพสต์เพื่อเพิ่มการยึดติดทางเคมี ทางจุลศาสตร์ร่วมกับการยึดติดทางเคมี

การปรับสภาพผิวเพื่อเพิ่มการยึดติดทางเคมีด้วยการเชื่อมชิลิกา (silica) ที่เป็นองค์ประกอบในไฟเบอร์โพสต์ทั้งเกรชินคอมโพสิตโดยใช้สารไซเลน (silane) ซึ่งเป็นสารคู่ควบ (coupling agent) มีสูตรโครงสร้างทางเคมีคือ $R'-Si-(OR)_3$ เป็นโมเลกุลที่มีแขนทำงาน 2 ปลาย (bifunctional molecules) ปลายข้างหนึ่งเป็นกลุ่มสารอินทรีย์ (R') ยึดติดกับเกรชินคอมโพสิตด้วยพันธะโคแวนต์ (covalent bond) ส่วนปลายอีกข้างหนึ่งประกับด้วยหมู่อัลกอโคไฮด์ (alkoxy groups) สามารถทำปฏิกิริยา กับพื้นผิวสารอินทรีย์ เช่น เซรามิกซ์ (ceramics) ควอเต็ตไฟเบอร์ (quartz fiber) เกิดพันธะไซโลกเซน (siloxane bond)³ ซึ่งเป็นพันธะทางเคมี (chemical bond) นอกจากนี้ สารไซเลนยังเพิ่มความสามารถในการให้หล่ำ (surface wettability)⁴ ของเกรชินคอมโพสิตด้วยมีหลายการศึกษาแนะนำให้ใช้สารไซเลนในการเคลือบผิวไฟเบอร์โพสต์เพื่อเพิ่มการยึดติดกับเกรชินคอมโพสิต⁴⁻⁶ แต่อย่างไรก็ตาม บางการศึกษาพบว่าการใช้สารไซเลนไม่ได้ช่วยเพิ่มค่าการยึดติดดังกล่าว^{7,8}

การปรับสภาพผิวเพื่อเพิ่มการยึดติดทางจุลศาสตร์ร่วมกับการยึดติดทางเคมี โดยวิธีการใช้สารเคมี เช่น กรดไฮdrofluoric acid⁹⁻¹¹ ไฮdroเจนเปอร์ออกไซด์ (hydrogen peroxide)¹¹⁻¹³ โพแทสเซียมเปอร์เมганेट (potassium permanganate)^{12,14} โซเดียมออกโซไชด์ (sodium ethoxide)^{12,14} หรือการเป้าผิวด้วยผงอะลูมิเนียมออกไซด์ (aluminium oxide) หรืออะลูมินา (Al_2O_3 , alumina)^{9,15-17} อาจร่วมกับการเคลือบผิวด้วยชิลิกาในรูปแบบการใช้เครื่องโรคเก็ต (Rocatec System; 3M ESPE, Germany)¹⁸ และการใช้เครื่องโคลเจท (CoJet System; 3M ESPE, Germany)^{10,19} เพื่อกำจัดเกรชินเมทริกซ์ที่ล้อมรอบไฟเบอร์โพสต์บางส่วน ทำให้เกิดการเผยแพร่ผิวของโครงสร้างไฟเบอร์ (fiber) และเกิดผิวที่มีความชุ่มชื้นมากขึ้น แล้วตามด้วยการทำสารไซเลนเพื่อให้เกิดการยึดติดทางเคมี

นอกจากการใช้สารเคมีที่ก่อร้าย ผู้ผลิตไฟเบอร์โพสต์บางบริษัทแนะนำให้ใช้กรดฟอฟอเรติก (phosphoric acid) ทำพื้นผิวของไฟเบอร์โพสต์และล้างน้ำก่อนนำไปยึดติดด้วยเกรชินคอมโพสิตอย่างไรก็ตาม ยังมีการถกเถียงถึงวิธีการที่เหมาะสมสำหรับการปรับสภาพผิวของไฟเบอร์โพสต์ที่สามารถทำได้ง่าย และมีประสิทธิภาพในการยึดติดกับเกรชินคอมโพสิตที่ใช้ทำแกนฟัน การศึกษาวิจัยนี้มีวัตถุประสงค์เพื่อประเมินผลของการปรับสภาพผิวต่อความแข็งแรงยึดเนื่อง (shear bond strength) ระหว่างไฟเบอร์โพสต์และเกรชินคอมโพสิต

วัสดุอุปกรณ์และวิธีการ

เลือกไฟเบอร์โพสต์ชนิดเอฟาร์ซีโพสเทคพลัส (FRC Postec® Plus; Ivoclar Vivadent, Lichtenstein) เบอร์ 3 จำนวน 16 แท่ง มาทำความสะอาดด้วยเครื่องอัลตราโซนิกส์ เป็นเวลา 5 นาที ทำการแบ่งไฟเบอร์โพสต์ออกเป็น 4 กลุ่มตามการปรับสภาพผิว ดังนี้ กลุ่มที่ 1 ไม่ทำการปรับสภาพผิว (กลุ่มควบคุม) กลุ่มที่ 2 ทาสารไซเลนชนิดโนโนบอนด์พลัส (Monobond Plus; Ivoclar Vivadent, Lichtenstein) ปล่อยทิ้งไว้ 60 วินาที และเป่าให้แห้ง กลุ่มที่ 3 ทากรดฟอฟอเรติก ความเข้มข้นร้อยละ 37.0 เป็นเวลา 60 วินาที ล้างน้ำ เป่าให้แห้ง ทาสารไซเลนปล่อยทิ้งไว้ 60 วินาที และเป่าให้แห้ง กลุ่มที่ 4 ทำการเป้ารายแบบข้างก้าอ้อทันตแพทย์ด้วยผงอะลูมิเนียมออกไซด์ อนุภาคขนาด 50 ไมครอน (micron) ระยะห่าง 30 มิลลิเมตร เป็นเวลา 5 วินาที ทำความสะอาดด้วยเครื่องอัลตราโซนิกส์ เป่าให้แห้ง ทาสารไซเลนปล่อยทิ้งไว้ 60 วินาที และเป่าให้แห้งในทุกกลุ่ม ทาสารยึดติดแบบไม่มีวัสดุอุดแทรก (unfilled adhesive resin) ชนิดสกอร์บอนด์ แมลติเพอร์โพส (Scotchbond Multipurpose; 3M ESPE, Germany) ที่ผิวไฟเบอร์ใช้ลมเป่าเบา ๆ เพื่อให้สารยึดติดแผ่นกระจาดเป็นฟิล์มบาง ขยายแสงด้วยเครื่องฉายแสงเอลอดีจีนิดบลูเฟสแอลเอลดีเจียร์เจลไลท์ (Bluephase® LED curing light; Ivoclar Vivadent, Lichtenstein) 10 วินาที ในแต่ละด้าน นำไฟเบอร์โพสต์มา yึดกับอุปกรณ์ที่ออกแบบให้สามารถวางไฟเบอร์โพสต์ได้ตั้งตรง และอยู่กลางชิ้นงาน โดยยึดส่วนไฟเบอร์โพสต์ที่เป็นด้านทรงสูบไว้ที่ฐานยึด และใช้หลอดแก้วเป็นโครงล้อมรอบไฟเบอร์โพสต์ สำหรับอุปกรณ์ที่มีชื่อว่า Filtek™ Z250 (3M ESPE, Germany) ชั้นละไม่เกิน 2 มิลลิเมตร จนเต็มแก้วแก้ว โดยพยายามทำให้เกิดความแนบสนิทกับไฟเบอร์โพสต์ให้มากที่สุด ขยายแสงด้านละ 20 วินาที แบ่งชิ้นงานด้านปลาย



รูปที่ 1 แท่นยึดไฟเบอร์โพสต์และโครงล้อมรอบไฟเบอร์สำหรับสร้างชิ้นงาน

Fig. 1 Glass cylinder mold with metal base for specimen construction



รูปที่ 2 ชิ้นงานตัวอย่างที่ทำการสร้างเรซินคอมโพสิตรอบไฟเบอร์โพสต์
Fig. 2 A resin composite cylindrical specimen with a fiber post in the middle

ทรงกระบอกของไฟเบอร์โพสต์เป็น 5 ส่วน ดังรูปที่ 2 ทำการตัดด้วยเครื่องตัดชิ้นงานไอโซเมตชอร์ (Isomet 1000; Buehler, USA) ให้ชิ้นทดสอบรูปวงแหน่งกลม โดยมีไฟเบอร์โพสต์อยู่ตรงกลาง และนำชิ้นงานไปขัดแต่งด้วยกระดาษทรายเบอร์ 600, 800 และ 1200 โดยเครื่องขัด (grinder polisher; MoPao™ 160E, Huayin, China) ให้ได้แนวระนาบ ดังรูปที่ 3 และมีความหนาเท่ากับ 1 มิลลิเมตร โดยใช้เครื่องวัดดิจิทัล (digital caliper) บันทึกความหนาของชิ้นงานแต่ละชิ้นไว้ แต่ละกลุ่มจะได้ชิ้นทดสอบกลุ่มละ 20 ชิ้น นำชิ้นงานที่ได้แข็งในน้ำก่อนที่อุณหภูมิ 37 องศาเซลเซียส เป็นเวลา 24 ชั่วโมง



รูปที่ 3 ลักษณะชิ้นงานสำหรับการทดสอบ
Fig. 3 A sample disc ready to be tested



รูปที่ 4 แสดงแท่นทดสอบ
Fig. 4 Specimen testing device

ทำการทดสอบวัดค่าความแข็งแรงยึดเนื่องระหว่างไฟเบอร์โพสต์และเรซินคอมโพสิตโดยใช้แท่นทดสอบชิ้นทดสอบซึ่งออกแบบมาโดยเฉพาะ ดังรูปที่ 4 ร่วมกับเครื่องทดสอบชนิดอินสตรอน (Instron® testing machine; USA) บันทึกแรงกดดันสูงสุดที่ทำให้ไฟเบอร์โพสต์หลุดออกจากเรซินคอมโพสิต นำค่าความแข็งแรงยึดเฉือนที่ได้มาวิเคราะห์ผลทางสถิติด้วยการวิเคราะห์ความแปรปรวนแบบทางเดียว (one way analysis of variance: ANOVA)

ทำการสุมไฟเบอร์โพสต์ที่ไม่ได้นำไปปั๊ดกับเรซินคอมโพสิต เพื่อตรวจสอบพื้นผิวภายในหลังการปรับสภาพผิวด้วยวิธีการต่าง ๆ เปรียบเทียบกับพื้นผิวในกลุ่มควบคุณ ด้วยกล้องจุลทรรศน์อิเล็กทรอนชนิดส่องกราด (Scanning Electron Microscope; JEOL JSM-5910LV SEM, Japan)

ผล

จากการทดลองพบว่าค่าความแข็งแรงยึดเฉือนเฉลี่ยและค่าเบี่ยงเบนมาตรฐาน (mean±standard deviation) ของแต่ละกลุ่มเท่ากับ 23.67 ± 4.55 , 23.88 ± 5.08 , 25.87 ± 5.08 , 22.32 ± 3.90 เมกะปascal (Megapascal: MPa) ตามลำดับ เมื่อนำข้อมูลมาวิเคราะห์ทางสถิติพบว่าทุกกลุ่มมีค่าความแข็งแรงยึดเฉือนเฉลี่ยไม่แตกต่างกันอย่างมีนัยสำคัญทางสถิติ ($p > .05$) ดังตารางที่ 1

บทวิจารณ์

ในการศึกษาครั้งนี้ เลือกใช้ไฟเบอร์โพสต์ชนิดเอฟอาชี-โพสต์เคลพัลส์ซึ่งมีโครงสร้างไฟเบอร์เป็นแก้วเคลือบด้วยสารไซเลน (silanized glass fibers) บริมาณร้อยละ 61.5 โดยน้ำหนัก และมีการเรียงตัวทิกทางเดียว มีเรซินเมทิริกซ์คือเมทากิรเลต ชนิดไทรอกลีนไกลคอลไดเมทากิรเลต (triethylene-glycol-dimethacrylates: TEGDMA) และยูรีเทนไดเมทากิรเลต (urethane-dimethacrylates: UDMA) สารอัดแทรก (fillers) คือซิลิโคนไดออกไซด์ (silicon dioxide) และมีโครงสร้างไฟเบอร์เผยแพร่ผ่านสูญญากาศ ดังภาพจากกล้องจุลทรรศน์อิเล็กทรอนชนิดส่องกราด รูปที่ 5

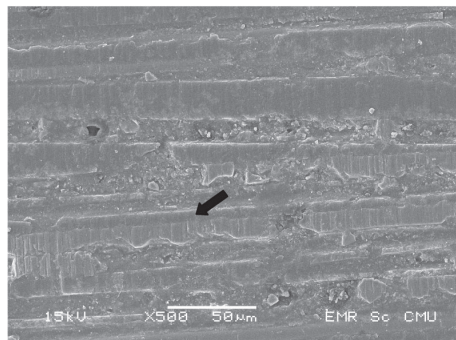
กลุ่มที่ 2 ทำการปรับสภาพผิวไฟเบอร์โพสต์ด้วยสารไซเลนชนิดโมโนบอนด์พลัส พบร่วมกับลักษณะพื้นผิวของไฟเบอร์โพสต์ มีโครงสร้างไฟเบอร์และเรซินเมทิริกซ์คล้ายกับกลุ่มที่ไม่ได้ทำการปรับสภาพผิว แต่พื้นผิวที่ได้อาจมีลักษณะเรียบกว่ากลุ่มควบคุณ ดังภาพจากกล้องจุลทรรศน์อิเล็กทรอนชนิดส่องกราด รูปที่ 6 สรุปค่าความแข็งแรงยึดเฉือนเฉลี่ยมีค่าไม่แตกต่างกับกลุ่มควบคุณอย่าง

ตารางที่ 1 แสดงค่าความแข็งแรงยึดเชื่อมเคลือบและค่าเบี่ยงเบนมาตรฐานของขันทดสอบในแต่ละกลุ่มทดลอง

Table 1 Means and standard deviations (MPa) of the shear bond strengths measured in all the experimental groups

Group	means±s.d. (Megapascal)
1	23.67±4.55 ^a
2	23.88±5.08 ^a
3	25.87±5.08 ^a
4	22.32±3.90 ^a

Mean values designated with the same superscript letter are not statistically different ($p > .05$)



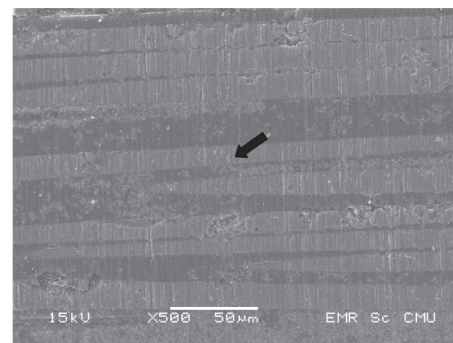
รูปที่ 5 พื้นผิวของไฟเบอร์โพสต์จากกล้องจุลทรรศน์อิเล็กตรอนชนิดสองกราด กำลังขยาย 500 เท่า ถูกคราแปรงโดยครั้งสร้างไฟเบอร์แก้ว

Fig. 5 Representative SEM micrograph of an untreated fiber post ($\times 500$), an arrow indicates glass fiber

มีนัยสำคัญจากเนื่องมาจากสารไชเลนที่ใช้ในการศึกษาไม่สามารถเพิ่มพันธะทางเคมีระหว่างเรซินคอมโพสิตและโครงสร้างไฟเบอร์ที่มีสารไชเลนเคลือบอยู่จากขั้นตอนการผลิตมาก่อนแล้วการศึกษาเกี่ยวกับผลของการไชเลนในการปรับสภาพผิวไฟเบอร์โพสต์ulatory การศึกษาพบว่าสารไชเลนชนิดโมโนบอนด์-เอส (Monobond-S; Ivoclar Vivadent, Lichtenstein) ไม่ได้ช่วยเพิ่มค่าการยึดติด^{7,8} อาจเนื่องมาจากสารไชเลนสามารถเกิดพันธะทางเคมีกับชิลิกานในไฟเบอร์แก้ว (glass fiber) ของไฟเบอร์โพสต์ แต่ไฟเบอร์โพสต์โดยส่วนใหญ่ผู้ภายนอกมีเรชินเมทริกซ์ชนิดอีพอกซี่เรชินหรือเมท้าคราเลตซึ่งเกิดปฏิกิริยาการบ่มตัวอย่างสมบูรณ์มาแล้วในขั้นตอนการผลิต ถ้าต้องการเพิ่มค่าแรงยึดติด มีความจำเป็นต้องละลายส่วนของเรชินเมทริกซ์ออกก่อน เพื่อให้เกิดการเผยแพร่ของโครงสร้างไฟเบอร์แก้วภายในที่จะสามารถเกิดพันธะทางเคมีกับสารไชเลนได้ หรือเลือกใช้ไฟเบอร์โพสต์ที่มีเรชินเมทริกซ์ชนิดที่พร้อมจะเกิดการเขื่อมกับเรชินคอมโพสิตได้ (interpenetrating polymer network resin matrix: IPN) เนื่องจากเรชินเมทริกซ์ชนิดนี้ยังมีพันธะที่ไม่อิ่มตัวชนิดดับเบิลบอนด์ (double bond) พอลิเมร์ในเรชินเมทริกซ์จึงมีลักษณะเป็นสายตรวจ

สัน ฯ มีอนุមูลอิสระพร้อมที่จะเกิดพันธะเป็นพอลิเมอร์สายยาวต่อไปได้^{20,21}

อย่างไรก็ตาม มีการศึกษาของ Aksornmuang และคณะ^{5,6} สนับสนุนการใช้สารไชเลนเพื่อเพิ่มความแข็งแรงต่อแรงดึง (tensile strength) โดยเลือกใช้สารไชเลนแบบสองขวดชนิดเคลือบฟิล์มเคลือบอนด์แอคติเวเตอร์ (Clearfil Porcelain Bond Activator; Kuraray, Japan) ซึ่งจะเกิดปฏิกิริยาไฮดรอลิซิส (hydrolysis reaction) เมื่อผสมสารไชเลน เช่น แกรมมาเอ็มพีเอส (G-MPS) เข้ากับมอนโอมอร์ฟินิดที่เป็นกรด (acidic monomer) ภายหลังการผสมกลุ่มอัลคลอกาซี (alkoxy group) ของแกรมมาเอ็มพีเอสจะถูกไฮดรอลายซ์ (hydrolyzed) เป็นกลุ่มไซลanol (silanol group) และสามารถเกิดพันธะไซโลกอเซนได้กับพื้นผิวที่มีชิลิกา ซึ่งแตกต่างจากสารไชเลนชนิดโมโนบอนด์พลัสที่ผ่านการเกิดปฏิกิริยาไฮดรอลิซิมาก่อนแล้ว มีการศึกษาเปรียบเทียบสารไชเลนสองชนิด พบว่าสารไชเลนแบบสองขวดมีประสิทธิภาพดีกว่าสารไชเลนที่ผ่านการเกิดปฏิกิริยามาก่อนแล้ว²² จึงอาจเป็นเหตุผลที่ทำให้ผลการศึกษาที่ได้แตกต่างกัน

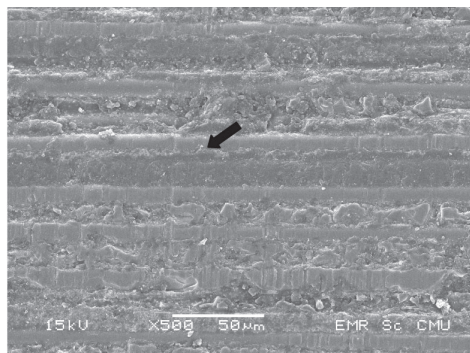


รูปที่ 6 พื้นผิวของไฟเบอร์โพสต์ภายหลังจากการปรับสภาพด้วยสารไชเลนจากกล้องจุลทรรศน์อิเล็กตรอนชนิดสองกราด กำลังขยาย 500 เท่า ถูกคราแปรงโดยครั้งสร้างไฟเบอร์แก้ว

Fig. 6 Representative SEM micrograph of a llanized post ($\times 500$), an arrow indicates glass fiber

ในบางการศึกษาพบว่าการใช้สารไฮเดรนเซนิดไมโนในบอนด์เอกสารช่วยเพิ่มค่าความแข็งแรงยึดติดกับไฟเบอร์โพลิสต์ที่มีอีพอกซี่เรซินเป็นส่วนประกอบ สาเหตุน่าจะเนื่องมาจากสารไฮเดรนอาจช่วยเพิ่มการให้หลอมให้กับเรซินคอมโพสิตทำให้เกิดการยึดติดได้ดีขึ้น ส่งผลให้มีความแข็งแรงต่อแรงดึงที่สูงขึ้น⁴

กลุ่มที่ 3 เมื่อทำการปรับสภาพผิวไฟเบอร์โพลิสต์ด้วยกรดฟอสฟอริกร้อยละ 37.0 เป็นเวลา 1 นาที ลักษณะพื้นผิวของไฟเบอร์โพลิสต์มีลักษณะเช่นเดียวกับกลุ่มควบคุมกรดฟอสฟอริกไม่สามารถละลายเรซินเมทริกซ์ที่อยู่ล้อมรอบโครงสร้างไฟเบอร์แก้วได้

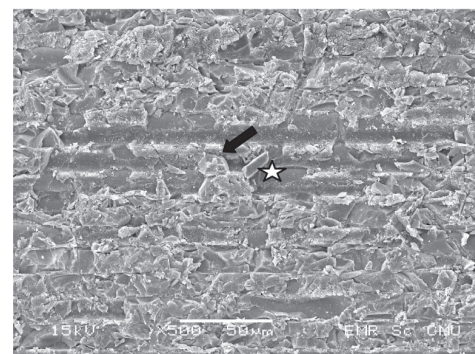


รูปที่ 7A พื้นผิวของไฟเบอร์โพลิสต์ภายหลังจากการปรับสภาพผิวด้วยกรดฟอสฟอริกความเข้มข้นร้อยละ 37.0 จากกล้องจุลทรรศน์อิเล็กทรอนนิคส์ส่องการดูด กำลังขยาย 500 เท่า ลูกศรแสดงโครงสร้างไฟเบอร์แก้ว

Fig. 7A Representative SEM micrograph of the post surface after treatment with 37% phosphoric acid (x500), an arrow indicates glass fiber

ดังภาพจากกล้องจุลทรรศน์อิเล็กทรอนนิคส์ส่องการดูด 7A และเมื่อเทียบไฟเบอร์โพลิสต์ด้วยสารไฮเดรนเซนิดไมโนในบอนด์พลัสด พบว่าพื้นผิวที่ได้มีลักษณะเรียบคล้ายกับกลุ่มที่ 2 ดังภาพจากกล้องจุลทรรศน์อิเล็กทรอนนิคส์ส่องการดูด 7B ส่วนค่าความแข็งแรงยึดเชื่อมเฉลี่ยให้ผลไม่แตกต่างจากกลุ่มควบคุมอย่างมีนัยสำคัญ การปรับสภาพผิวไฟเบอร์โพลิสต์ด้วยกรดฟอสฟอริกความเข้มข้นร้อยละ 37.0 อาจเป็นการทำความสะอาดพื้นผิวไฟเบอร์โพลิสต์เท่านั้น แต่ไม่ทำให้เกิดการเปลี่ยนแปลงลักษณะพื้นผิวของไฟเบอร์โพลิสต์ซึ่งสอดคล้องกับการศึกษาของ Valandro และคณะ¹⁰ ที่ใช้ไฟเบอร์โพลิสต์ชนิดไลท์โพลิสต์ (Light Post; Bisco, USA) การศึกษาของ D'Arcangelo และคณะ⁹ ที่ใช้ไฟเบอร์โพลิสต์ชนิดเอนโดไลท์โพลิสต์ (Endo Light Post; RTD, France) และการศึกษาของ Albasaireh และคณะ¹⁷ ที่ใช้ไฟเบอร์โพลิสต์ชนิดอีซี่โพลิสต์ (EasyPost; Dentsply, USA) ซึ่งให้ผลการศึกษาเช่นเดียวกัน

กลุ่มที่ 4 ทำการปรับสภาพผิวด้วยการเป่าทรายแบบข้าง เก้าอี้ทันตแพทย์ และทำความสะอาดด้วยเครื่องอัลตราโซนิกส์ พบว่าพื้นผิวของไฟเบอร์โพลิสต์มีความขุ่นมากขึ้น และพบการแตกหักของโครงสร้างไฟเบอร์แก้ว ดังภาพจากกล้องจุลทรรศน์อิเล็กทรอนนิคส์ส่องการดูด รูปที่ 8A (รูปด้านขวา) และเมื่อเทียบไฟเบอร์โพลิสต์ด้วยสารไฮเดรนเซนิดไมโนในบอนด์พลัสด พบว่าพื้นผิวไฟเบอร์โพลิสต์มีลักษณะเรียบขึ้นดังภาพจากกล้องจุลทรรศน์อิเล็กทรอนนิคส์ส่องการดูด รูปที่ 8B โดยค่าความแข็งแรงยึดเชื่อมเฉลี่ยของการปรับสภาพผิวไฟเบอร์โพลิสต์ด้วยการเป่าทรายแบบข้างเก้าอี้

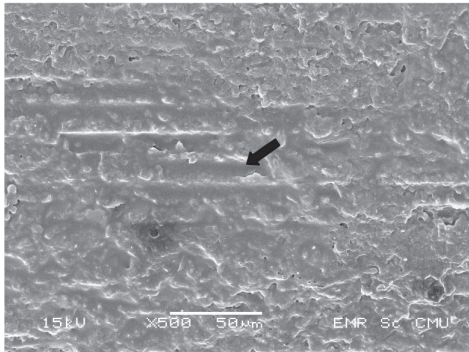


รูปที่ 7B พื้นผิวของไฟเบอร์โพลิสต์ภายหลังจากการปรับสภาพผิวด้วยกรดฟอสฟอริกความเข้มข้นร้อยละ 37.0 และตามด้วยการทาสารไฮเดรนจากกล้องจุลทรรศน์อิเล็กทรอนนิคส์ส่องการดูด กำลังขยาย 500 เท่า ลูกศรแสดงโครงสร้างไฟเบอร์แก้ว

Fig. 7B Representative SEM micrograph of the post surface after treatment with 37% phosphoric acid and silane application (x500), an arrow indicates glass fiber

รูปที่ 8A พื้นผิวของไฟเบอร์โพลิสต์ภายหลังจากการปรับสภาพผิวด้วยการเป่าทรายข้างเก้าอี้ทันตแพทย์จากกล้องจุลทรรศน์อิเล็กทรอนนิคส์ส่องการดูด กำลังขยาย 500 เท่า ลูกศรแสดงโครงสร้างไฟเบอร์แก้ว รูปด้านขวาแสดงโครงสร้างไฟเบอร์ที่แตกหัก

Fig. 8A Representative SEM micrograph of the post surface after sandblasting (x500), an arrow indicate glass fiber, a star indicates fracture part of fiber



รูปที่ 8B พื้นผิวของไฟเบอร์โพสต์ภายหลังจากการปรับสภาพผิวด้วยการเป่าทรายข้างเก้าอี้ทันตแพทย์และตามด้วยการทำยาสารไซเลนจากกล้องจุลทรรศน์เล็กต่อนั่นนิดส่องกระจก ลูกศรแสดงโครงสร้างไฟเบอร์แก้ว

Fig. 8B Representative SEM micrograph of the post surface after sandblasting and silane application (x500), an arrow indicates glass fiber

ทันตแพทย์มีค่าไม่แตกต่างจากกลุ่มควบคุมอย่างมีนัยสำคัญเนื่องจากขอบเขตของการเป่าทรายและแรงดันของการเป่าทรายแบบข้างเก้าอี้ทันตแพทย์ซึ่งควบคุมได้ยาก ประกอบกับไฟเบอร์โพสต์ชนิดเซฟฟาร์ชีโพสต์เทคโนโลยีโพสต์ที่มีการเผยแพร่ผิวของไฟเบอร์สู่ภายนอกอยู่แล้วทำให้โครงสร้างไฟเบอร์เกิดความเสียหายมากกว่าไฟเบอร์โพสต์ที่ไม่มีส่วนโครงสร้างไฟเบอร์แก้วเผยแพร่ผิวซึ่งส่งผลต่อค่าความแข็งแรงของไฟเบอร์โพสต์ได้ และอาจส่งผลต่อค่าความแข็งแรงยึดเชื่อมเฉียบระหว่างไฟเบอร์โพสต์และเรซินคอมโพสิตได้ ความชรุขของพื้นผิวไฟเบอร์โพสต์ภายหลังการเป่าทรายข้างเก้าอี้ทันตแพทย์ที่ลึกเกินไป อาจทำให้สารไซเลนและสารยึดติดไม่สามารถแทรกซึมลงไปจนถึงความแนบสนิทได้ ส่งผลต่อค่าความแข็งแรงยึดเชื่อมเฉียบโดยคลุมครอบโครงสร้างไฟเบอร์แก้วจากการปรับสภาพผิวด้วยวิธีการเคลือบผิวด้วยซิลิการ่วมกับการเป่าทรายข้างเก้าอี้ระบท่ำเจ้า ตามด้วยการทำยาสารไซเลนให้ค่าความแข็งแรงต่อแรงดึงสูงสุดเมื่อเทียบกับกลุ่มที่ทำให้เกิดการยึดติดทางจุลทรรศน์ตัวยิริชีการปรับสภาพผิวด้วยกรดฟอสฟอริกหรือกรดไฮド록โซอิก เนื่องจาก การเป่าทรายทำให้พื้นผิวบริเวณเรซินเมทิริกซ์ของไฟเบอร์โพสต์มีความชรุข เกิดการยึดติดทางจุลทรรศน์โดยไม่เกิดความเสียหายต่อโครงสร้างไฟเบอร์แก้ว ร่วมกับการเคลือบผิวด้วยซิลิกาแล้วตามด้วยการทำยาสารไซเลน เกิดการยึดติดทางเคมีร่วมด้วยความแตกต่างของการทำลายโครงสร้างไฟเบอร์เกิดจากขนาด

อนุภาคขององะลูมิเนียมออกไซด์ เวลาและระยะห่างที่ใช้ในการเป่าทราย Balbosh และคณะ¹⁸ แนะนำให้ทำการเป่าทรายโดยใช้ผงอะลูมิเนียมออกไซด์ขนาด 50 ไมครอน เวลา 5 วินาที ที่แรงดัน 2.8 บาร์ ปลายของเครื่องมือเป่าทรายอยู่ห่างจากไฟเบอร์โพสต์ 30 มิลลิเมตร พบว่าสามารถเพิ่มความแข็งแรงต่อแรงดึงโดยไม่ก่อให้เกิดความเสียหายต่อไฟเบอร์โพสต์

ภายใต้ข้อจำกัดของการทดลองนี้ พบว่าผลของการปรับสภาพผิวไฟเบอร์โพสต์ด้วยวิธีการต่างๆ ไม่ได้ช่วยเพิ่มค่าความแข็งแรงยึดเชื่อมเฉียบระหว่างไฟเบอร์โพสต์และเรซินคอมโพสิต จึงไม่มีความจำเป็นในการปรับสภาพผิวไฟเบอร์โพสต์ถือเป็นการลดเวลาข้างเก้าอี้ และทำงานง่าย ไม่เกิดความยุ่งยาก อย่างไรก็ตาม การศึกษานี้เป็นเพียงการศึกษาค่าความแข็งแรงยึดเชื่อมของไฟเบอร์โพสต์ชนิดเดียว การนำนำไปประยุกต์ใช้ทางคลินิกควรมีการศึกษาเพิ่มเติมถึงค่าความแข็งแรงยึดเชื่อมของไฟเบอร์โพสต์ชนิดอื่นซึ่งมีส่วนประกอบที่แตกต่างกัน และปัจจัยอื่น ๆ ที่มีผลต่อการยึดติดร่วมด้วย

ข้อเสนอแนะในการนำไปประยุกต์ใช้ทางคลินิกนี้ ได้จากการวิจัยนี้ ควรทำความสะอาดไฟเบอร์โพสต์ก่อนที่จะทำการยึดติดกับพื้นและเรซินคอมโพสิต ใช้เทคนิคการอุดเรซินคอมโพสิตให้เกิดความแบบสนิททั้งกับพื้นและไฟเบอร์โพสต์ และเลือกใช้สารยึดติดก่อนการอุดแกะพื้นเพื่อเพิ่มความสามารถในการเหลาและการเรซินคอมโพสิตชนิดไฮบริดเรซิน (hybrid resin)²³

อย่างไรก็ตาม ค่าความแข็งแรงของการยึดติดระหว่างไฟเบอร์โพสต์และเรซินคอมโพสิต ไม่ได้ขึ้นอยู่กับวิธีการปรับสภาพผิว เพื่อเพิ่มค่าความแข็งแรงของการยึดติดเท่านั้น เราจำเป็นต้องพิจารณาถึงปัจจัยอื่น ๆ ได้แก่ ปริมาณเนื้อพื้นที่เหลืออยู่ และชนิดของเรซินคอมโพสิตสำหรับสร้างแกะพื้นร่วมด้วยมีนหมายการศึกษาพบว่าการใช้เรซินคอมโพสิตชนิดเหลาแพร (flowable resin composites) สามารถช่วยให้เกิดความแบบสนิทกับไฟเบอร์โพสต์ได²⁴⁻²⁶ แต่อย่างไรก็ตาม ต้องคำนึงถึงความแข็งแรงของวัสดุและการทดสอบของวัสดุร่วมด้วยเช่นกัน

บทสรุป

สรุปผลการทดลองภายใต้ข้อจำกัดของการทดลองนี้ ผลของ การปรับสภาพผิวไฟเบอร์โพสต์ด้วยวิธีการต่าง ๆ ไม่ได้ช่วยเพิ่มค่าความแข็งแรงยึดเชื่อมระหว่างไฟเบอร์โพสต์และเรซินคอมโพสิต

กิตติกรรมประกาศ

ขอขอบคุณเจ้าหน้าที่ห้องปฏิบัติการเจ้าหน้าที่ศูนย์วิจัยทางทันตกรรม เจ้าหน้าที่คลินิกบัณฑิตศึกษา คณะทันตแพทยศาสตร์ เจ้าหน้าที่ศูนย์วิจัยและบริการจุลทรรศนศาสตร์อิเล็กตรอน คณะวิทยาศาสตร์ มหาวิทยาลัยเชียงใหม่ ที่ช่วยอำนวยความสะดวก และคณะทันตแพทยศาสตร์ มหาวิทยาลัยเชียงใหม่ ที่ให้ทุนสนับสนุนงานวิจัย

เอกสารอ้างอิง

1. Lassila LV, Tanner J, Le Bell AM, Narva K, Vallittu PK. Flexural properties of fiber reinforced root canal posts. *Dent Mater* 2004;20:29-36.
2. Monticelli F, Osorio R, Sadek FT, Radovic I, Toledano M, Ferrari M. Surface treatments for improving bond strength to prefabricated fiber posts: a literature review. *Oper Dent* 2008;33:346-55.
3. Matlinlinna JP, Lassila LV, Ozcan M, Yli-Urpo A, Vallittu PK. An introduction to silanes and their clinical applications in dentistry. *Int J Prosthodont* 2004;17:155-64.
4. Goracci C, Raffaelli O, Monticelli F, Balleri B, Bertelli E, Ferrari M. The adhesion between prefabricated FRC posts and composite resin cores: microtensile bond strength with and without post-silanization. *Dent Mater* 2005;21:437-44.
5. Aksornmuang J, Nakajima M, Foxton RM, Tagami J. Regional bond strengths of a dual-cure resin core material to translucent quartz fiber post. *Am J Dent* 2006;19:51-5.
6. Aksornmuang J, Foxton RM, Nakajima M, Tagami J. Microtensile bond strength of a dual-cure resin core material to glass and quartz fibre posts. *J Dent* 2004;32:443-50.
7. Perdigao J, Gomes G, Lee IK. The effect of silane on the bond strengths of fiber posts. *Dent Mater* 2006;22:752-8.
8. Wrba KT, Schirrmeister JF, Altenburger MJ, Agrafioti A, Hellwig E. Bond strength between fibre posts and composite resin cores: effect of post surface silanization. *Int Endod J* 2007;40:538-43
9. D'Arcangelo C, D'Amario M, Prosperi GD, Cinelli M, Giannoni M, Caputi S. Effect of surface treatments on tensile bond strength and on morphology of quartz-fiber posts. *J Endod* 2007;33:264-7.
10. Valandro LF, Yashiga S, de Melo RM, Galhano GA, Mallmann A, Marinho CP, et al. Microtensile bond strength between a quartz fiber post and a resin cement: effect of post surface conditioning. *J Adhes Dent* 2006;8:105-11.
11. Vano M, Goracci C, Monticelli F, Tognini F, Gabriele M, Tay FR. The adhesion between fibre posts and composite resin cores: the evaluation of microtensile bond strength following various surface chemical treatments to posts. *Int Endod J* 2006;39:31-9.
12. Monticelli F, Toledano M, Tay FR, Cury AH, Goracci C, Ferrari M. Post-surface conditioning improves interfacial adhesion in post/core restorations. *Dent Mater* 2006;22:602-9.
13. Monticelli F, Toledano M, Tay FR, Sadek FT, Goracci C, Ferrari M. A simple etching technique for improving the retention of fiber posts to resin composites. *J Endod* 2006;32:44-7.
14. Mazzitelli C, Ferrari M, Toledano M, Osorio E, Monticelli F, Osorio R. Surface roughness analysis of fiber post conditioning processes. *J Dent Res* 2008;87:186-90.
15. Soares CJ, Santana FR, Pereira JC, Araujo TS, Menezes MS. Influence of airborne-particle abrasion on mechanical properties and bond strength of carbon/epoxy and glass/bis-GMA fiber-reinforced resin posts. *J Prosthet Dent* 2008;99:444-54.
16. Radovic I, Monticelli F, Goracci C, Cury AH, Coniglio I, Vulicevic ZR, et al. The effect of sandblasting on adhesion of a dual-cured resin composite to methacrylic fiber posts: microtensile bond strength and SEM evaluation. *J Dent* 2007;35:496-502.
17. AlBashaireh ZS, Ghazal M, Kern M. Effects of endodontic post surface treatment, dentin conditioning, and artificial aging on the retention of glass fiber-reinforced composite resin posts. *J Prosthet Dent* 2010;103:31-9.
18. Balbush A, Kern M. Effect of surface treatment on retention of glass-fiber endodontic posts. *J Prosthet Dent* 2006;95:218-23.
19. Bitter K, Meyer-Luckel H, Priehn K, Martus P, Kielbassa AM. Bond strengths of resin cements to fiber-reinforced composite posts. *Am J Dent* 2006;19:138-42.
20. Bitter K, Noetzel J, Neumann K, Kielbassa AM. Effect of silanization on bond strengths of fiber posts to various resin cements. *Quintessence Int* 2007;38:121-8.

21. Mannocci F, Sherriff M, Watson TF, Vallittu PK. Penetration of bonding resins into fibre-reinforced composite posts: A confocal microscopic study. *Int Endod J* 2005;38:46-51.
22. Foxton RM, Pereira PN, Masatoshi N, Tagami J, Miura H. Long-term durability of the dual-cure resin cement/silicon oxide ceramic bond. *J Adhes Dent* 2002;4:125-35.
23. Ferrari M, Goracci C, Sadek FT, Monticelli F, Tay FR. An investigation of the interfacial strengths of methacrylate resin-based glass fiber post-core buildups. *J Adhes Dent* 2006;8:239-45.
24. Monticelli F, Goracci C, Gradini S, Gracia-Godoy F, Ferrari M. Scanning electron microscopic evaluation of fiber post-resin core units built up with different resin composites. *Am J Dent* 2005;18:61-5.
25. Salameh Z, Papacchini F, Ounsi HF, Goracci C, Tashkandi E, Ferrari M. Adhesion between prefabricated fiber-reinforced posts and different composite resin cores: a microtensile bond strength evaluation. *J Adhes Dent* 2006;8:113-7.
26. Anuphan S, Kanjantra P, Khemaleelakul T. Adhesive bond strength between fiber posts and resin composites: A Pilot study. *CM Dent J* 2008;29:47-54.

Original Article

Effect of Surface Treatments on Shear Bond Strength between Fiber Posts and Resin Composites

Duangta Phonyarm

Dentist

Bangyai Hospital

Nonthaburi

Siripong Sirimongkolwattana

Assistant Professor

Department of Restorative Dentistry and

Periodontology Faculty of Dentistry,

Chiang Mai University

Pavisuth Kanjantra

Assistant Professor

Department of Restorative Dentistry and

Periodontology Faculty of Dentistry,

Chiang Mai University

Correspondence to:

Assistant Professor Siripong

Sirimongkolwattana

Department of Restorative Dentistry and

Periodontology

Faculty of Dentistry, Chiang Mai University

Suthep Rd., Muang, Chiang Mai 50200

Tel.: 053-944457

Abstract

The purpose of this study was to evaluate the effect of surface treatments on shear bond strength between fiber posts and resin composites. Sixteen FRC Postec® Plus posts were divided into 4 groups according to the post surface treatment: Group 1 no surface treatment (control); Group 2 applying a silane coupling agent; Group 3 etching with 37% phosphoric acid, rinsing and silane application; Group 4 sandblasting, cleaning and silane application. The posts were coated with the light cure adhesive resin. The treated posts were placed centrally in cylindrical molds which were then filled with the resin composites. Each cylindrical specimen was sliced to make disc specimens 1 mm. thick using Isomet saw. Five disc specimens were obtained in each cylindrical specimen and then polished with sandpaper No.600, 800 and 1200 (N=20). The shear bond strengths were tested using the Instron® testing machine to measure the force (MPa) which pushed the posts out of the resin composites. The means of shear bond strength were statistically analyzed using one way analysis of variance (ANOVA). There was no significant difference in the means of shear bond strength at all groups ($p > .05$)

Key words: fiber post; shear bond strength; surface treatment